

# СИБИРСКИЕ ЭЛЕКТРОННЫЕ МАТЕМАТИЧЕСКИЕ ИЗВЕСТИЯ

Siberian Electronic Mathematical Reports

<http://semr.math.nsc.ru>

Том 1, стр. 76–90 (2004)

УДК 519.172.2

MSC 05C15

## 2-ДИСТАНЦИОННАЯ РАСКРАСКА РАЗРЕЖЕННЫХ ПЛОСКИХ ГРАФОВ

О. В. БОРОДИН, А. О. ИВАНОВА, Т. К. НЕУСТРОЕВА

ABSTRACT. Clearly, the 2-distance chromatic number  $\chi_2(G)$  of any graph  $G$  with maximum degree  $\Delta$  is at least  $\Delta + 1$ . We prove that if  $G$  is planar and its girth is large enough (w.r.t. a fixed  $\Delta$ ), then  $\chi_2(G) = \Delta + 1$ .

### 1. ВВЕДЕНИЕ

Ниже под графом всюду понимается обыкновенный граф без петель и кратных ребер. Через  $V(G)$  и  $E(G)$  обозначаются множества вершин и ребер графа  $G$ , соответственно.

Раскраска  $f : V(G) \rightarrow \{1, 2, \dots, k\}$  графа  $G$  называется *2-дистанционной*, если любые две вершины, находящиеся на расстоянии не более 2, окрашены в различные цвета. Наименьшее число цветов в 2-дистанционных раскрасках графа  $G$  называется *2-дистанционным хроматическим числом* графа  $G$  и обозначается через  $\chi_2(G)$ .

Г. Вегнером [5] была высказана гипотеза о том, что  $\chi_2(G)$  любого плоского графа  $G$  с максимальной степенью  $\Delta$  удовлетворяет неравенствам

$$\chi_2(G) \leq \begin{cases} \Delta + 5 & \text{при } 4 \leq \Delta \leq 7; \\ \lfloor \frac{3}{2}\Delta \rfloor + 1 & \text{при } \Delta \geq 8 \end{cases}$$

(см. также монографию Т. Р. Йенсена и Б. Тофта [4, п. 2.18]). Я. ван ден Хойвел и Ш. Мак Гиннес [3] доказали, что  $\chi_2(G) \leq 2\Delta + 25$  для любого плоского графа  $G$ . Независимо, Г. Агнарсон и М. М. Холдсон [2] установили, что  $\chi_2(G) \leq \lfloor \frac{9}{5}\Delta \rfloor + 2$  при  $\Delta \geq 749$ . О.В. Бородиным и др. [1] доказано, что  $\chi_2(G) \leq \lceil \frac{9}{5}\Delta \rceil + 1$  при  $\Delta \geq 47$ .

BORODIN, O.V., IVANOVA, A.O., NEUSTROEVA, T.K., 2-DISTANCE COLOURING OF SPARSE PLANAR GRAPHS.

© 2004 Бородин О. В., Иванова А. О., Неустроева Т. К.

Работа первого автора поддержана РФФИ (гранты 03-01-00796 и 02-01-00039).

Поступила 29 октября 2004 г., опубликована 16 ноября 2004 г.

Очевидно, что  $\chi_2(G) \geq \Delta + 1$  для любого графа  $G$  (поскольку в любом графе есть звезда  $K_{1,\Delta}$ ). В данной работе доказано, что если  $G$  — плоский, а его обхват (т.е. длина минимального цикла)  $g$  при фиксированном  $\Delta$  достаточно велик, то  $\chi_2(G) = \Delta + 1$ . Легко видеть, что при  $\Delta = 2$  существуют графы с  $\chi_2 = 4$  и произвольно большим обхватом, например,  $C_{3k+1}$ .

**Теорема 1.** Пусть  $G$  — планарный граф, тогда  $\chi_2(G) = \Delta + 1$  в каждом из следующих случаев:

- (i)  $\Delta = 3$  и  $g \geq 24$ ;
- (ii)  $\Delta = 4$  и  $g \geq 15$ ;
- (iii)  $\Delta = 5$  и  $g \geq 13$ ;
- (iv)  $\Delta = 6$  и  $g \geq 12$ ;
- (v)  $\Delta \geq 7$  и  $g \geq 11$ ;
- (vi)  $\Delta \geq 9$  и  $g = 10$ ;
- (vi)  $\Delta \geq 16$  и  $g = 9$ .

## 2. ДОКАЗАТЕЛЬСТВО ТЕОРЕМЫ 1

Пусть граф  $G'$  — контрпример к теореме 1, т. е. имеет  $\Delta(G') = \Delta \geq 3$ , его обхват  $g(G')$  не меньше, чем в соответствующем пункте теоремы 1, а  $\chi_2(G') > \Delta + 1$ . Пусть далее  $G$  — наименьший по числу ребер граф со свойствами:  $\Delta(G) \leq \Delta$ ,  $g(G) = g \geq g(G')$ ,  $\chi_2(G) > \Delta + 1$ . Множество графов с этими свойствами непусто, так как, например,  $G'$  всеми ими обладает. Доказательство теоремы 1 состоит в доказательстве несуществования графа  $G$ , что противоречит сделанному нами предположению о существовании графа  $G'$ .

Не нарушая общности, можно считать, что граф  $G$  связан. Обозначим через  $\delta$  его минимальную степень. Легко видеть, что  $\delta \geq 2$ .

Формулу Эйлера  $|V| - |E| + |F| = 2$  запишем в виде

$$((g - 2)|E| - g|V|) + (2|E| - g|F|) = -2g,$$

где  $F$  — множество граней графа  $G$ .

Отсюда

$$\sum_{v \in V} \left( \frac{g-2}{2}d(v) - g \right) + \sum_{f \in F} (r(f) - g) = -2g, \tag{1}$$

где  $d(v)$  — степень вершины  $v$ , а  $r(f)$  — ранг грани  $f$ . Пусть заряд  $\mu(v)$  каждой вершины  $v$  графа  $G$  равен  $\frac{g-2}{2}d(v) - g$ , а заряд каждой грани  $f$  графа  $G$  равен  $r(f) - g$ . Поскольку заряд каждой грани неотрицателен, из (1) имеем

$$\sum_{v \in V} \left( \frac{g-2}{2}d(v) - g \right) < 0. \tag{2}$$

Заметим, что заряд 2-вершины при всех  $g$  равен  $-2$ , а заряды вершин степени не менее 3 положительны. Для каждого значения  $\Delta$  мы опишем ряд структурных свойств графа  $G$ , опираясь на которые перераспределим заряды вершин так, чтобы новый заряд каждой вершины стал неотрицательным. Поскольку сумма зарядов вершин при перераспределении сохраняется, мы получим противоречие с (2), что и завершит доказательство теоремы 1.

Для всех  $\Delta$  используется общее правило перераспределения зарядов:

**R1:** Любая вершина  $v$  с  $d(v) \geq 3$  отдает заряд  $k$  каждой выходящей из нее  $k$ -цепи (т. е. состоящей из в точности  $k$  вершин степени 2).

При некоторых  $\Delta$  мы будем вводить дополнительные правила, причем в их номер будет входить  $\Delta$ . Например, правило R3 будет касаться случая  $\Delta = 3$ .

Сделаем общее замечание по доказательству структурных свойств.

**Замечание.** В силу минимальности  $G$  граф, полученный из него удалением ребра, имеет требуемую раскраску. Легко видеть, что если мы сможем перекрасить концы этого ребра в цвет, не встречающийся на смежных вершинах и вершинах на расстоянии 2 от соответствующего конца, то полученная раскраска будет 2-дистанционной. Удаленное ребро на рисунке будем перечеркивать.

**2.1. Случай  $\Delta(G) = 3$ .** Назовем  $(k, l, m)$ -вершиной вершину степени 3, инцидентную  $\geq k$ -,  $\geq l$ - и  $\geq m$ -цепям. Для доказательства нам понадобятся следующие структурные свойства графа  $G$ .

**Лемма 1.** Пусть  $\Delta = 3$ . Тогда в  $G$  нет:

- (i)  $\geq 6$ -цепей;
- (ii)  $(5, 4, 1)$ -вершин;
- (iii)  $(5, 3, 2)$ -вершин;
- (iv)  $(4, 4, 2)$ -вершин;
- (v)  $(4, 3, 3)$ -вершин.

Что касается  $(5, 5, 0)$ -вершины  $v$ , то мы не можем исключить ее присутствия в  $G$ , так как существует частичная раскраска  $\varphi$  графа  $G$ , которую нельзя продолжить на  $v$ . Действительно, пусть  $v$  смежна с 3-вершиной  $z_1$ , а  $x_1 \dots x_5 z_2$  и  $y_1 \dots y_5 z_3$ , где  $d(z_1) = d(z_2) = d(z_3) = 3$ , — цепи, выходящие из нее. Пусть  $\varphi(u) = \varphi(x_5) = \varphi(y_5) = 1$ ,  $\varphi(z_2) = \varphi(z_3) = 2$ , а  $\varphi(z_1) = 3$ . Без ограничения общности, пусть  $\varphi(x_1) = 2$ , тогда для раскраски вершин  $x_2, x_3, x_4$  остается только два цвета — 3, 4.

Однако имеет место более слабое структурное свойство.

**Лемма 2.** В графе  $G$  не существует смежных  $(5, 5, 0)$ - и  $(5, 4, 0)$ -вершин.

**2.1.1. Доказательство леммы 1.** (i) Предположим, что 6-цепь существует (см. рис. 1). Тогда удаляем перечеркнутое ребро и рассмотрим 2-дистанционную раскраску полученного графа. Без ограничения общности, будем считать, что левый конец окрашен в цвет 1 (здесь и в дальнейшем зафиксированные раскраской цвета обводим кружками). Обесцветим четыре внутренние вершины конфигурации. На рисунке показано, как мы красим обесцвеченные вершины: одна из них получает цвет 1, а символы  $N_i$  задают порядок раскраски остальных. Читателю остается убедиться, что в момент окраски очередной вершины имеется не более трех ограничений на выбор цвета.

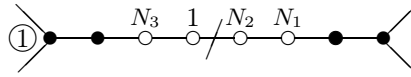


Рис. 1.

(ii) На рис. 2 показана сводимость данной конфигурации. Нетрудно убедиться, что тремя вариантами, показанными на рисунке, исчерпываются все способы раскраски границы. Здесь и далее, в каждом из вариантов мы обесцвечиваем внутренние вершины конфигурации и указываем способ их раскраски.

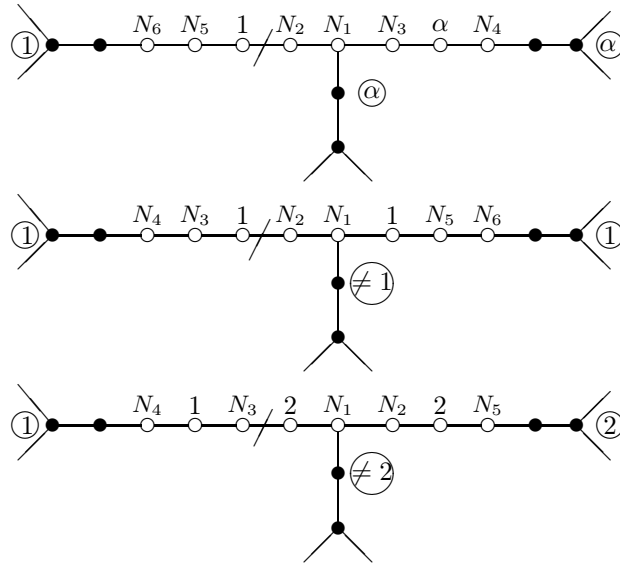
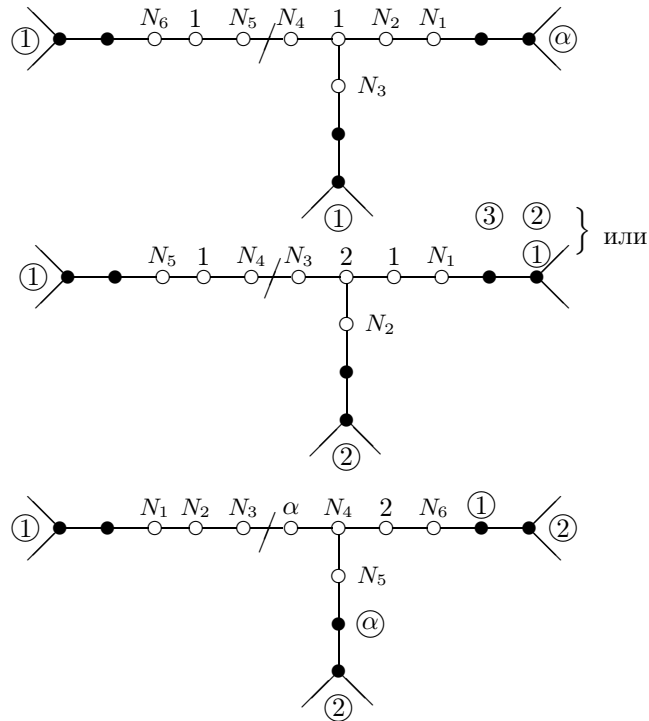


Рис. 2.

(iii) На рис. 3 приводятся шесть решений, для различных способов раскраски границы. Второе решение подходит для двух вариантов. Читателю следует убедиться, что ни один из вариантов раскраски границы не упущен и в каждом случае построена 2-дистанционная раскраска графа  $G$ .







вершина  $v$  получает единственно возможный цвет, который обозначим через  $\alpha$ . В дальнейшем раскраска нижних вершин меняться не будет. Остается раскрасить верхнюю часть.

Имеется три варианта раскраски границы верхней части конфигурации, два из которых имеют сходное решение и показаны на рис. 6а, а третий,  $(\alpha, 2)$ , рассмотрен на рис. 6б.

Обратимся к рис. 6а. Сначала покрасим левую часть. Раскраска правой зависит от раскраски ее границы. Решение для первого варианта ( $\neq \alpha$ ) показано сверху, а для второго ( $\alpha, \beta \neq 2$ ) — снизу.  $\square$

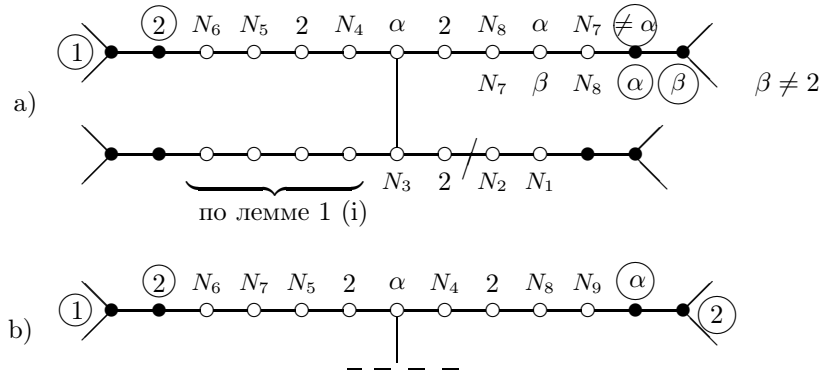


Рис. 6.

2.1.3. *Завершение доказательства для  $\Delta(G) = 3$ .* В дополнение к общему правилу R1 в случае  $\Delta(G) = 3$  используется следующее правило:

**R3.** Каждая  $(5,5,0)$ -вершина получает заряд 1 от смежной 3-вершины.

Покажем, что после перераспределения  $\mu^*(v) \geq 0$  для любой  $v \in V(G)$ , что будет противоречить (1) и завершит доказательство.

Пусть  $d(v) = 2$ , тогда  $\mu(v) = -2$ . Согласно правилу R1 любая  $k$ -цепь получает заряд  $2k$ , который можно равномерно распределить по ее  $k$  вершинам степени 2. Следовательно,  $\mu^*(v) = -2 + 2 = 0$ .

Остается рассмотреть случай  $d(v) = 3$ . Напомним, что  $\mu(v) = 9$ . Пусть  $v$  является  $(k, l, m)$ -вершиной. Сначала предположим, что  $v$  не отдает 1 вершинам степени 3 по правилу R3. Тогда по правилу R1 заряд вершины  $v$  может стать отрицательным только если  $k + l + m \geq 10$ . Согласно лемме 1, таковой является только  $(5,5,0)$ -вершина. В этом случае  $v$  получает 1 по правилу R3, а значит  $\mu^*(v) \geq 9 - 10 + 1 = 0$ .

Пусть  $v$  отдает 1 хотя бы один раз. Будем считать, что  $k \geq l \geq m$ . Тогда  $k + l \leq 8$ ,  $m = 0$  по лемме 2. Если  $v$  отдает 1 лишь по одному ребру, то  $\mu^*(v) \geq 9 - 8 - 1 = 0$ . Если  $v$  отдает 1 по двум или трем ребрам, то  $k \leq 5$ ,  $l = m = 0$  по лемме 1 (i), а следовательно  $\mu^*(v) \geq 9 - 5 - 3 \times 1 > 0$ .

2.2. **Случай  $\Delta \geq 4$ .** Вершину  $v$  будем называть *средней*, если  $d(v) < \Delta$ , а  $\mu(v) \geq 2d(v)$ , и *младшей*, если  $2 < d(v) < \Delta$  и  $v$  не является средней. Покажем, что  $\mu^* \geq 0$  для средних и  $\Delta$ -вершин, а потом для младших вершин графа. Для

удобства читателей приведем таблицу зарядов вершин, где двойная черта отделяет младшие вершины от средних, а заряд  $\Delta$ -вершины выделен полужирным шрифтом:

Таблица 1.

$g \backslash d$	2	3	4	5	6	7	8	9	...	16
15	-2	$\frac{9}{2}$	<b>11</b>							
13	-2	$\frac{7}{2}$	9	$\frac{29}{2}$						
12	-2	3	8	13	<b>18</b>					
11	-2	$\frac{5}{2}$	7	$\frac{23}{2}$	16	$\frac{41}{2}$				
10	-2	2	6	10	14	18	22	<b>26</b>		
9	-2	$\frac{3}{2}$	5	$\frac{17}{2}$	12	$\frac{31}{2}$	19	$\frac{45}{2}$	...	<b>47</b>

Следующее правило перераспределения зарядов будет действовать для всех  $\Delta \geq 5$ :

**R2:** Любая средняя и  $\Delta$ -вершина отдает заряд 1 другому концу каждой инцидентной ей 1-цепи, и заряд 2 — концу 0-цепи.

Дополнительные правила (для  $\Delta = 4$  и  $\geq 16$ ) следующие:

**R4:** Если  $(2,2,1)$ - или  $(2,2,2)$ -вершина  $v$  соединена 2-цепью с 4-вершиной  $w$ , то  $v$  получает заряд  $\frac{1}{2}$  от  $w$ .

Назовем среднюю вершину  $v$  *старшей*, если  $\mu(v) \geq \frac{5}{2}d(v)$ .

**R16:** Если  $(2,2,0)$ -вершина  $v$  смежна со старшей или  $\Delta$ -вершиной  $w$ , то  $v$  получает от  $w$  заряд  $\frac{1}{2}$  в дополнение к 2, полученной по общему правилу R2 (т.е. всего  $v$  получает от  $w$  заряд  $\frac{5}{2}$ ).

2.2.1. Проверка того, что  $\mu^*(v) \geq 0$  для  $\Delta$ - и средних вершин. Нам понадобятся два структурных свойства графа  $G$  при произвольном  $\Delta$ .

**Лемма 3.** В  $G$  не существует  $\geq 3$ -цепей, ограниченных хотя бы с одной стороны вершиной степени меньше  $\Delta$ .

**ДОКАЗАТЕЛЬСТВО.** Пусть в  $G$  существует 3-цепь  $vv_1v_2v_3w$ , где  $d(v) < \Delta$  и  $d(v_i) = 2$  при  $1 \leq i \leq 3$  (см. рис. 7). Граф  $G - v_1v_2$ , в силу замечания перед разделом 2.1, 2-дистанционно раскрашиваем. Покрасим сначала вершину  $v_1$  (она имеет не более  $\Delta$  ограничений), затем  $v_2$  (не более 4 ограничений).  $\square$

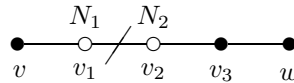


Рис. 7.

**Следствие 3'.** В  $G$  не существует  $\geq 4$ -цепей.

Введем следующее определение: под  $(k_1, \dots, k_d)$ -вершиной понимается  $d$ -вершина, инцидентная  $d$  различным цепям, где  $i$ -я цепь ( $1 \leq i \leq d$ ) содержит не менее  $k_i$  вершин степени 2.

**Лемма 4.** В  $G$  нет  $(3, 3, \dots, 3)$ -вершины  $v$  степени  $\Delta$ .

**ДОКАЗАТЕЛЬСТВО.** Пусть  $x_i$  — вершины, находящиеся от  $v$  на расстоянии 2, где  $1 \leq i \leq \Delta$ , а  $u$  — вершина, смежная с  $v$  и  $x_1$  (см. рис. 8). Раскрасим  $G - ux_1$ , обесцветим вершины  $u, v$  и все  $x_i$ , а потом покрасим их в порядке обесцвечивания.  $\square$

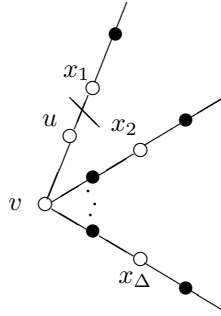


Рис. 8.

Отметим, что при всех значениях  $g$  заряд  $\Delta$ -вершины  $v$  не меньше  $3\Delta - 1$  (см. таблицу 1). Для  $\Delta$ -вершин при  $5 \leq \Delta \leq 9$  поставленный в данном разделе вопрос решается легко. Действительно, согласно правилам R1, R2 и следствию 3' вершина  $v$  отдает по каждой цепи либо 2, либо 3 единицы заряда, а по лемме 4 найдется  $\leq 2$ -цепь, инцидентная  $v$ , откуда  $\mu^*(v) \geq 3\Delta - 1 - 3(\Delta - 1) - 2 \times 1 = 0$ .

Пусть теперь  $\Delta = 4$ .

**Лемма 5.** В  $G$  нет  $(3,3,3,2)$ - и  $(2,2,1)$ -вершин, имеющих общую 2-цепь.

ДОКАЗАТЕЛЬСТВО. См. рис. 9.  $\square$

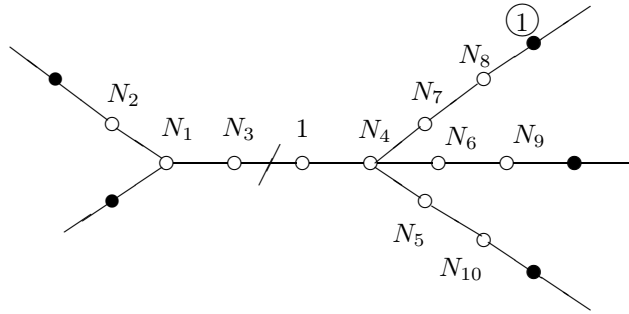


Рис. 9.

Вершина  $v$  степени 4 при  $g = 15$  имеет  $\mu(v) = 11$ . По правилам R1, R4 заряд  $\mu^*(v)$  мог бы быть отрицательным только в тех случаях, когда  $v$  имеет либо четыре инцидентных ей 3-цепи, либо три 3-цепи и одну 2-цепь, по которой нужно передать заряд  $\frac{5}{2}$ . Однако это противоречит леммам 4 и 5, соответственно.

Пусть, наконец,  $\Delta \geq 16$ . Здесь нам понадобится еще одно структурное свойство.

**Лемма 6.** В  $G$  нет  $(3, \dots, 3, 0)$ -вершины степени  $\Delta$  смежной с  $(2, 2, 0)$ -вершиной.

ДОКАЗАТЕЛЬСТВО. См. рис. 10.  $\square$

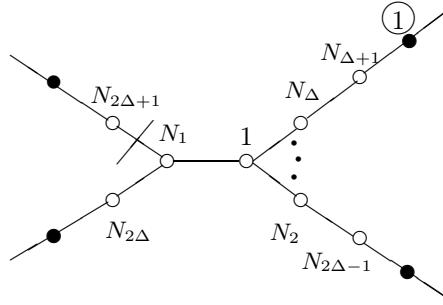


Рис. 10.

Вершина  $v$  степени  $\Delta \geq 16$  при  $g = 9$  имеет  $\mu(v) = \frac{7}{2}\Delta - 9$ . Для доказательства используем те же рассуждения, что и для  $\Delta = 4$ , при этом вместо правила R4 применяем правило R16, а вместо леммы 5 — лемму 6. Тем самым завершаем доказательство для  $\Delta$ -вершин.

Теперь обратимся к средней вершине  $v$ ; в этом случае доказательство проще. А именно,  $\mu(v) \geq 2d$  по определению, поэтому при  $5 \leq \Delta \leq 9$  (при  $\Delta = 4$  средних вершин нет) по правилам R1, R2 и лемме 3 вершина  $v$  отдает по каждой цепи не более 2 единиц заряда, т.е.  $\mu^*(v) \geq 2d - 2d = 0$ .

Пусть  $\Delta \geq 16$ . Для средней вершины  $v$ , которая не является старшей, рассуждаем аналогично случаю  $5 \leq \Delta \leq 9$ . Если  $v$  — старшая вершина, то по правилам R1, R2, R16 и лемме 3 она отдает по каждой цепи не более  $\frac{5}{2}$  единиц заряда, а значит  $\mu^*(v) \geq \frac{5}{2}d - \frac{5}{2}d = 0$ .

2.2.2. Проверка того, что  $\mu^*(v) \geq 0$  для младшей вершины  $v$ . Напомним, что младшая вершина отдает по каждому ребру, согласно правилу R1 и лемме 3, заряд 1 или 2 вершинам степени 2. В свою очередь она может получить от средних или  $\Delta$ -вершин, согласно правилу R2 и дополнительным правилам, некоторый положительный заряд. Поэтому достаточно рассмотреть лишь вершину  $v$ , у которой общее количество 2-вершин на инцидентных ей цепях больше  $\mu(v)$ . Для таких вершин нам потребуются новые структурные свойства графа  $G$ .

СЛУЧАЙ  $\Delta = 4$ .

**Лемма 7.** (i) Если в графе  $G$  есть  $(2,2,2)$ -вершина  $v$ , то все выходящие из нее 2-цепи, заканчиваются 4-вершинами.

(ii) Если в графе  $G$  есть  $(2,2,1)$ -вершина  $v$ , то хотя бы одна выходящая из нее 2-цепь заканчивается 4-вершиной.

**ДОКАЗАТЕЛЬСТВО.** (i) Пусть существуют цепи  $vw_i x_i y_i$ , где  $d(w_i) = d(x_i) = 2$ , для  $1 \leq i \leq 3$ , а  $d(y_1) = 3$ ,  $d(y_2) \geq 3$ ,  $d(y_3) \geq 3$ . Пусть  $\varphi$  — раскраска графа  $G - v w_1$ . Обесцветим  $v$  и все  $w_i$  и допустим, что цвет 1 не встречается на вершинах  $x_1, x_2, x_3$  (см. рис. 11).

Покрасим  $v$  в 1. Теперь каждая из  $w_i$  имеет не меньше 2 допустимых цветов, отличных от цветов 1,  $\varphi(x_i)$  и  $\varphi(y_i)$ . Мы не сможем раскрасить  $w_i$ ,  $1 \leq i \leq 3$ , лишь в том случае, когда все списки допустимых цветов для этих вершин состоят из двух цветов и, более того, одних и тех же, например,  $\{2,3\}$ . Это означает, что на каждой паре вершин  $x_i, y_i$  присутствуют цвета 4 и 5.

Можно считать, что  $\varphi(x_1) = 4$ ,  $\varphi(y_1) = 5$ , а цвет  $\alpha$  отсутствует на  $y_1$  и смежных с ней вершинах. Тогда красим  $x_1$  и  $w_2$  в  $\alpha$ ,  $w_1$  — в 4, а  $v$  и  $w_3$  — в цвета из множества  $\{1, 2, 3\} - \alpha$ .

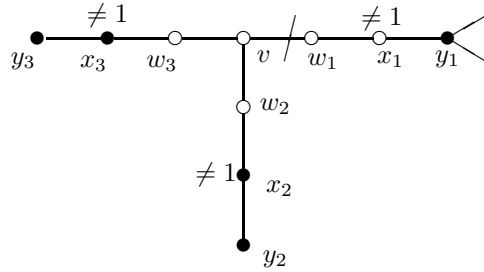


Рис. 11.

(ii) На рис. 12 показана сводимость данной конфигурации. В силу симметрии два варианта, показанные на рисунке, исчерпывают все способы раскраски границы конфигурации. Заметим, что на левом рисунке ни одна из двух нижних вершин не окрашена в цвет 2.  $\square$

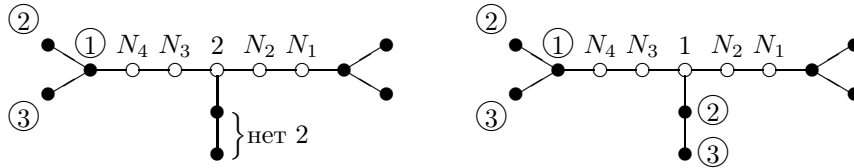


Рис. 12.

При  $g = 15$  младшими являются только 3-вершины и пусть  $v$  — одна из них.

Поскольку  $\mu(v) = \frac{9}{2}$ , достаточно рассмотреть лишь  $(2,2,2)$ -,  $(2,2,1)$ -вершины. Если  $v$  —  $(2,2,2)$ -вершина, то по каждой инцидентной ей 2-цепи она получает заряд  $\frac{1}{2}$  по правилу R4 и лемме 7 (i), а отдает 2 по R1. Следовательно,  $\mu^*(v) = \frac{9}{2} - 3 \times 2 + 3 \times \frac{1}{2} = 0$ .

Пусть  $v$  —  $(2,2,1)$ -вершина, тогда хотя бы по одной инцидентной ей 2-цепи она получает заряд  $\frac{1}{2}$  по правилу R4 и лемме 7 (ii), а отдает 5 по R1. Следовательно,  $\mu^*(v) \geq \frac{9}{2} - 5 + \frac{1}{2} = 0$ .

СЛУЧАЙ  $\Delta = 5$  и 6.

Здесь  $d(v) = 3$ , а  $3 \leq \mu(v) \leq \frac{7}{2}$ . Среди вершин, которые могли бы иметь после распределения зарядов отрицательное значение  $\mu^*$ , могут быть только  $(2,2,0)$ -,  $(2,1,1)$ -,  $(2,2,1)$ - и  $(2,2,2)$ -вершины. Заметим, что при  $\Delta \geq 5$  вершин типа  $(2,1,1)$  в графе  $G$  нет (см. рис. 13), а следовательно нет и вершин типов  $(2,2,1)$  и  $(2,2,2)$ . Если  $v$  —  $(2,2,0)$ -вершина, то ввиду конфигурации на рис. 14 она получает заряд 2 от смежной с ней средней или  $\Delta$ -вершины по правилу R2, откуда  $\mu^*(v) \geq 3 - 2 \times 2 + 2 > 0$ .

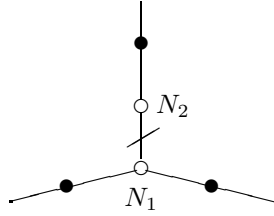


Рис. 13.

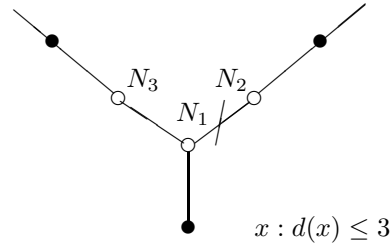


Рис. 14.

СЛУЧАЙ  $\Delta \geq 7$  и  $\Delta \geq 9$ .

Младшие вершины при  $g = 10, 11$  — это вершины степени 3 и 4. Пусть сначала  $d(v) = 3$ , тогда  $\mu(v) \geq 2$ . Напомним, что вершин типа  $(2,1,1)$  в графе  $G$  нет. Заметим, что при  $\Delta \geq 7$  конфигурации, изображенной на рис. 15, в  $G$  нет. Тогда, если  $v$  —  $(1,1,1)$ -вершина, то она получает заряд 1 по каждой 1-цепи от средней или  $\Delta$ -вершины по правилу R2, откуда  $\mu^*(v) \geq 2 - 3 \times 1 + 3 \times 1 > 0$ .

Если  $v$  —  $(2,1,0)$ - или  $(2,2,0)$ -вершина, то она получает заряд 2 от смежной средней или  $\Delta$ -вершины по правилу R2 ввиду конфигурации рис. 16, откуда  $\mu^*(v) \geq 2 - 2 \times 2 + 2 = 0$ .

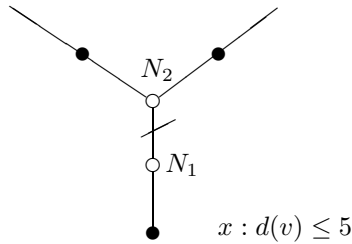


Рис. 15.

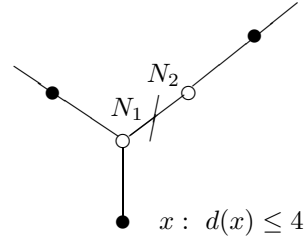


Рис. 16.

Пусть теперь  $d(v) = 4$ , тогда  $\mu(v) \geq 6$ , но даже  $(2,2,1,1)$ -вершины в графе  $G$  при  $\Delta \geq 7$  нет (см. рис. 17), а значит  $\mu^*(v) \geq 0$ .

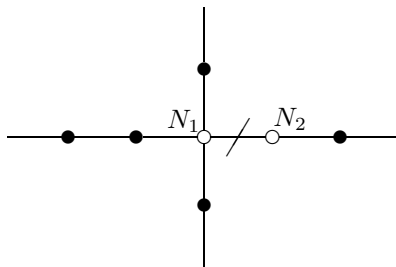


Рис. 17.

СЛУЧАЙ  $\Delta \geq 16$ .

Теперь  $3 \leq d(v) \leq 5$ . Пусть сначала  $d(v) = 3$ , тогда  $\mu(v) = \frac{3}{2}$ .

Если  $v$  —  $(2,2,0)$ -вершина, то она получает от смежной старшей (заметим, что степень старшей вершины не меньше 9) или  $\Delta$ -вершины суммарный заряд  $\frac{5}{2}$  по правилам R2 и R16 ввиду конфигурации на рис. 18. Отсюда  $\mu^*(v) \geq \frac{3}{2} - 2 \times 2 + \frac{5}{2} = 0$ .

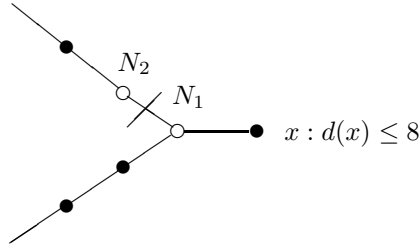


Рис. 18.

Напомним еще раз, что вершин типа  $(2,1,1)$  в графе  $G$  нет.

Пусть  $v$  —  $(1,1,1)$ -вершина, тогда она получает заряд 1 по каждой 1-цепи от средней или  $\Delta$ -вершины по правилу R2 ввиду конфигурации на рис. 15, т. е.  $\mu^*(v) \geq \frac{3}{2} - 3 \times 1 + 3 \times 1 > 0$ .

Пусть  $v$  —  $(2,1,0)$ -вершина, не являющаяся  $(2,2,0)$ -вершиной, тогда она получает заряд 2 от смежной средней или  $\Delta$ -вершины по правилу R2 ввиду конфигурации на рис. 19, откуда  $\mu^*(v) \geq \frac{3}{2} - 3 + 2 > 0$ .

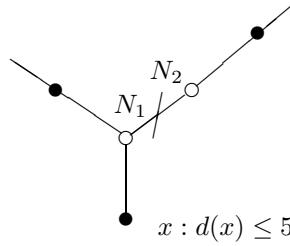


Рис. 19.

Пусть  $v$  —  $(2,0,0)$ -вершина, не являющаяся  $(2,1,0)$ -вершиной, тогда она получает заряд 2 хотя бы от одной смежной средней или  $\Delta$ -вершины по правилу R2 ввиду конфигурации на рис. 20, а значит  $\mu^*(v) \geq \frac{3}{2} - 2 + 2 > 0$ .

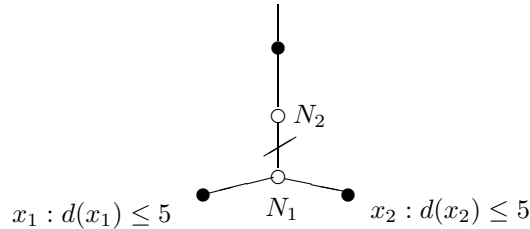


Рис. 20.

Пусть  $v$  —  $(1,1,0)$ -вершина, не являющаяся  $(2,1,0)$ -вершиной, тогда по правилу R2 ввиду конфигурации на рис. 21 она получает заряд 1 или 2 от средней или  $\Delta$ -вершины по 1- или 0-цепи, соответственно. Отсюда  $\mu^*(v) \geq \frac{3}{2} - 2 + 1 > 0$ .

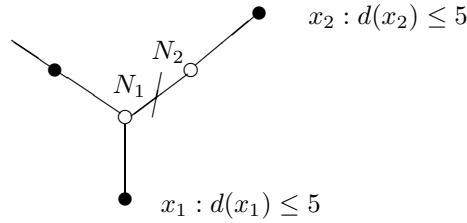


Рис. 21.

Пусть теперь  $d(v) = 4$ , тогда  $\mu(v) = 5$ . Поскольку  $(2,2,1,1)$ -вершин в графе  $G$  нет, остается рассмотреть  $(2,2,2,0)$ -вершину. Она получает заряд 2 от смежной средней или  $\Delta$ -вершины по правилу R2 ввиду конфигурации на рис. 22, откуда  $\mu^*(v) \geq 5 - 6 + 2 > 0$ .

Пусть, наконец,  $d(v) = 5$ , тогда  $\mu(v) = \frac{17}{2}$ . Вершин типа  $(2,2,2,2,1)$  в графе  $G$  нет (см. рис. 23), а для остальных 5-вершин  $\mu^*(v) \geq 0$  по правилу R1.

Теорема 1 доказана.

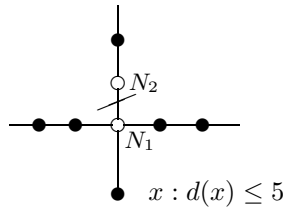


Рис. 22.

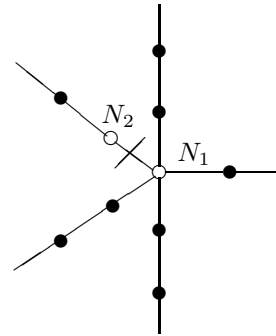


Рис. 23.

## СПИСОК ЛИТЕРАТУРЫ

- [1] О.В. Бородин, Х. Брусма, А.Н. Глебов, Я. Ван ден Хойвел, *Минимальные степени и хроматические числа квадратов плоских графов*, Дискрет. анализ и исслед. операций, Сер. 1, **8**:1 (2001), 9–33.
- [2] G. Agnarsson, M.M. Halldórsson, *Coloring powers of planar graphs*, unpublished manuscript, 2000.
- [3] J. Van den Heuvel, S. McGuinness, *Colouring the square of a planar graph*, unpublished manuscript, 1999.
- [4] T.R. Jensen, B. Toft, *Graph Coloring Problems*, New York, John-Wiley & Sons, 1995.
- [5] G. Wegner, *Graphs with given diameter and a coloring problem*, Technical Report. University of Dortmund, 1977.

Олег Вениаминович Бородин  
 ИНСТИТУТ МАТЕМАТИКИ ИМ. С. Л. СОВОЛЕВА СО РАН,  
 ПР. АКАДЕМИКА КОПТЮГА 4,  
 630090, НОВОСИБИРСК, РОССИЯ  
*E-mail address:* brdnoleg@math.nsc.ru

Анна Олеговна Иванова  
Якутский государственный университет им. М.К. Аммосова,  
Институт математики и информатики,  
ул. Кулаковского 48,  
677000 Якутск, Россия  
*E-mail address:* [shmgnanna@mail.ru](mailto:shmgnanna@mail.ru)

Татьяна Кимовна Неустроева  
Якутский государственный университет им. М.К. Аммосова,  
Институт математики и информатики,  
ул. Кулаковского 48,  
677000 Якутск, Россия  
*E-mail address:* [podn2001@mail.ru](mailto:podn2001@mail.ru)